

---

## Research Paper

# Sediment Particle Size Distribution behind the Check Dams of the Lashkaran Watershed, Salmas, West Azerbaijan

Afsaneh Jafari<sup>1</sup>, Habib Nazarnejad<sup>2</sup> , Saeed Najafi<sup>3</sup> and Farrokh Asadzadeh<sup>4</sup>

1- M.Sc. Student, Department of Range & Watershed Management, Faculty of Natural Resources, Urmia University, Urmia, Iran

2- Associate professor, Department of Watershed Management, Faculty of Range & Watershed Management, Gorgan University of Agricultural Sciences and Natural Resources, Gorgan, Iran,  
(Corresponding Author: h.nazarnejad@gau.ac.ir)

3- Assistant professor, Department of Range & Watershed Management, Faculty of Natural Resources, Urmia University, Urmia, Iran

4- professor, Department of Soil Sciences, Faculty of Agriculture, Urmia University, Urmia

Received: 5 December, 2023

Accepted: 8 April, 2024

### Extended Abstract

**Background:** One of the major goals of watershed management operations is to reduce soil erosion and waste, and in the next step, to prevent the exit of eroded particles from the watershed. For this purpose, sediment control structures are usually built throughout watersheds. Check dams also play a special and important role in reducing the sediment load of rivers. Sediment dams are constructed to prevent the entry of sediment particles caused by the erosion of upstream lands into the main river. Particle size distribution is one of the key physical characteristics of sediment materials that is used as an important factor in sediment management in watersheds. Many quantitative and qualitative characteristics of sediments, such as porosity, permeability, transferability, chemical reactivity, and erodibility, are influenced by the size of particles and their mode of distribution. To achieve better results in watersheds and especially sediment trapping behind check dams, knowing the type of sediment and its characteristics helps in the better management of watersheds and water and soil resources. Comparing check dams with other water and soil conservation measures to reduce sedimentation, it seems that check dams are the most effective way to quickly reduce the entry of coarse sediments into rivers. Considering the role of sediment traps in trapping sediment particles, it is very important to study the sediments behind these dams in terms of particle size distribution characteristics. This research aims to investigate the size distribution of sediment particles behind check dams and to investigate the efficiency of sediment trapping dams in trapping sediments in the Lashkaran Salmas watershed.

**Methods:** The Lashkaran watershed is located in the northwest of Salmas city in West Azerbaijan province. According to the country division, it is located in the Urmia Lake River basin, and its geographical coordinates are in the range of 44°38' to 44°40' east longitude and 38°17' to 38°18' north latitude, with an area of 363 hectares. First, the location and dimensions of the structures and the height of the accumulated sediment behind the structures were examined and measured through field monitoring. To determine the size distribution of sediment particles, the sediments behind each check dam were sampled at two depths of 0-25 and 25-50 cm. In total, 32 sediment samples were collected from eight dams. The samples were transferred to the laboratory, air dried, and then passed through a 2 mm sieve. The particle size distribution of sediment samples was determined by the hydrometric method. To quantitatively investigate sediment particle size distribution, an optimal model was selected from several particle size distribution models, and particle size distribution indices, such as  $D_{50}$ , were calculated with the optimal model.

**Results:** In the studied watershed, check dams have been built on the streams with three orders, including order one, three, and four. Seven dams have been built on the third-order streams, one dam on the fourth-order stream, and one dam on the first-order stream. The results show that the particle size distribution does not follow a specific and regular pattern in order three streams, and the average percentages of sand, silt, and clay are 65.7%, 28.2%, and 6.1%, respectively. In order four streams, the average percentages of sand, silt, and clay are 80.4%, 16.5%, and 3.2%, respectively. The respective percentages are 82.7%, 9.8%, and 7.6% in the first order. In general, the average percentage of sand particles, followed by silt, is the largest volume of particles making up sediments. The sediment size distribution of the third-order streams shows that the amount of changes in sediment particles does not have a regular trend, but in general, the percentages of clay and silt increase with increasing distance from the outlet of the watershed, with a decrease in the amount of sand particles. The fourth-order stream has high flow intensity and assumedly carries larger particles. Along with approaching the outlet, the amount of coarse particles decreases due



to the presence of check dams and the accumulation of sediments behind the dams. As the distance from the outlet increases, the amount of clay and silt tends to decrease while sand particles tend to increase. The first-order stream has the lowest flow intensity. The amount of clay is constant with increasing distance, with increased silt and decreased sand percentages. Three efficiency coefficients were used to assess the efficiency of the models. The results of the sediment granulation distribution showed that check dams were most efficient in trapping sediments such as sand with a share of 69.5%. The results of examining the efficiency coefficients of particle size distribution models show that the Fredlund model with the highest coefficient of determination (0.98), the lowest RMSE index (0.03), and Akaike's statistic (59.54) is the most efficient model in measuring the distribution of sediment particle size compared to the other seven models.

**Conclusion:** The average particles of sand, silt, and clay (69.5%, 24.7%, and 5.8%, respectively) indicate the performance of check dams in controlling coarse-grained sediments such as sand. The results show that the dams upstream the watershed have restrained larger particles, but this trend is not seen in other check dams. It seems that the type and sequence of the dam are more effective in sediment changes. Moreover, the runoff carries fine to coarse particles, and regular diameter differentiation cannot be obtained due to the short distance between the dams.

**Keywords:** Lashkaran Watershed, Sediment Particle Size, Watershed Measures

**How to Cite This Article:** Jafari, A., Nazarnejad, H., Najafi, S., & Asadzadeh, F. (2024). Sediment Particle Size Distribution behind the Check Dams of the Lashkaran Watershed, Salmas, West Azerbaijan. *J Watershed Manage Res*, 15(2), 65-76. DOI: [10.61186/jwmr.15.2.65](https://doi.org/10.61186/jwmr.15.2.65)

## مقاله پژوهشی

## توزيع اندازه ذرات رسوب پشت بندهای اصلاحی حوزه لشکران سلماس استان آذربایجان غربی

افسانه جعفری<sup>۱</sup>, حبیب نظرنژاد<sup>۲\*</sup>, سعید نجفی<sup>۳</sup> و فرخ اسدزاده<sup>۴</sup>

۱- دانشجوی کارشناسی ارشد، گروه مرتع و آبخیزداری، دانشکده منابع طبیعی، دانشگاه ارومیه، ارومیه، ایران  
۲- دانشیار، گروه آبخیزداری، دانشکده مرتع و آبخیزداری، دانشگاه علوم کشاورزی و منابع طبیعی گرگان، گرگان، ایران،  
(نویسنده مسؤول: h.nazarnejad@gau.ac.ir)

۳- استادیار، گروه مرتع و آبخیزداری، دانشکده منابع طبیعی، دانشگاه ارومیه، ارومیه، ایران  
۴- استاد، گروه حاکشناسی، دانشکده کشاورزی، دانشگاه ارومیه، ارومیه، ایران

تاریخ دریافت: ۱۴۰۲/۹/۱۴

صفحه: ۶۵ تا ۷۶

## چکیده مبسوط

**مقدمه و هدف:** از مهم‌ترین اهداف عملیات آبخیزداری، کاهش فرسایش و هدررفت خاک و در مرحله بعد جلوگیری از خروج ذرات فرسایش یافته از حوزه آبخیز است. بهمین منظور معمولاً در سراسر آبخیزها سازه‌هایی جهت کنترل رسوب احداث می‌شود. بندهای اصلاحی نقش ویژه و مهمی در کاهش بار رسوبی رودخانه نیز ایفا می‌کنند. هدف از احداث بندهای رسوب‌گیر از ورود ذرات رسوب ناشی از فرسایش اراضی بالادست به رودخانه اصلی است. توزیع آنرا ذرات از هم‌ترین ویژگی‌های فیزیکی مواد رسوبی بوده که از آن به عنوان یک عامل مهم در مدیریت رسوب در حوزه‌های آبخیز استفاده می‌شود. بسیاری از ویژگی‌های کمی و کیفی رسوبات مانند تخلخل، نفوذپذیری، قابلیت انتقال، واکنش‌پذیری شیمیایی و فرسایش‌پذیری تحت تأثیر اندازه ذرات و چگونگی توزیع آن‌ها است. برای دستیابی به نتیجه بهتر در حوزه‌های آبخیز و بهینه‌تلاء‌اندازی رسوبات در پشت‌بندهای اصلاحی، شناخت نوع رسوب و خصوصیات آن کمک شایانی در زمینه مدیریت بهتر حوزه‌های آبخیز و منابع آب و خاک می‌کند. در مقایسه بندهای اصلاحی با سایر اقدامات حفاظت آب و خاک جهت کاهش رسوب، بهنظر می‌رسد که مؤثرترین راه برای کاهش سریع ورود رسوبات درشت‌دانه به رودخانه، بندهای اصلاحی باشد. با توجه به نقش بندهای رسوب‌گیر در به دام انداختن ذرات رسوب، مطالعه رسوبات موجود در پشت این بندهای ذرات دارای اهمیت بهسازی است. هدف از این پژوهش، بررسی توزیع اندازه ذرات رسوب در پشت‌بندهای اصلاحی و بررسی کارایی بندهای اصلاحی رسوبات در حوزه آبخیز لشکران سلماس است.

**مواد و روش‌ها:** حوزه آبخیز لشکران در شمال غربی شهرستان سلماس در استان آذربایجان غربی واقع شده است. بر اساس تقسیم‌بندی کشوری در حوزه آبریز دریاچه ارومیه قرار دارد و مختصات جغرافیایی آن در طول جغرافیایی  $۴۰^{\circ}۳۸'۸''$  تا  $۴۰^{\circ}۴۰'۰''$  شرقی و عرض  $۳۸^{\circ}۱۸'۰''$  تا  $۳۸^{\circ}۳۸'۸''$  شمالی است. مساحت این حوضه  $۳۶۳$  هکتار است. ابتدا با پایش میدانی، محل و ابعاد سازه‌ها و ارتقای رسوب انبیا شتۀ شده در پشت سازه‌ها بررسی و اندازه گرفته شد. برای تعیین توزیع آنرا ذرات رسوبات، از رسوبات پشت هر بند اصلاحی، نمونه‌برداری از دو عمق  $۰$  تا  $۲۵$  و  $۵۰$  تا  $۲۵$  سانتی‌متری انجام شد. در مجموع،  $۳۲$  نمونه رسوب از هشت‌بند برداشت شد. نمونه‌ها به آزمایشگاه منتقل و پس از هوا خشک شدن از الک  $۲$  میلی‌متری عبور داده شد. توزیع اندازه ذرات نمونه‌های رسوب به‌روش هیدرومتری انجام شد. برای بررسی کمی توزیع اندازه ذرات رسوب، مدل بهینه از بین تعدادی از مدل‌های توزیع اندازه ذرات انتخاب و شخص‌های توزیع اندازه ذرات مانند  $D_{50}$  از طریق مدل بهینه محاسبه شد.

**یافته‌ها:** در حوضه مورد مطالعه، بندهای اصلاحی بر روی آبراهه با سه رتبه شامل رتبه یک، سه و چهار احداث شده‌اند. هفت بند بر روی آبراهه رتبه سه، یک بند در آبراهه رتبه چهار و یک بند در آبراهه رتبه یک احداث شده‌اند. نتایج نشان داد در آبراهه‌های رتبه  $۳$  توزیع اندازه ذرات از گلگوی خاص و منظمی تعیین نمی‌کند و میانگین شن، سیلت، رس بهترتبیب  $۶۵/۷$  و  $۲۸/۲$  و  $۶/۱$  درصد است. در آبراهه رتبه  $۴$ ، میانگین شن  $۸۰/۴$  درصد و سیلت و رس بهترتبیب  $۱۶/۵$  و  $۲/۲$  درصد است. این میزان در آبراهه رتبه یک بهترتبیب  $۷/۶$  و  $۹/۸$  و  $۸۲/۷$  درصد است. بهطور کلی میانگین درصد ذرات شن و پس از آن سیلت بیشترین میزان حجم ذرات تشکیل دهنده رسوبات است. توزیع اندازه رسوب آبراهه رتبه سه نشان داد میزان تغییرات ذرات رسوب روند منظمی ندارد ولی به طور کلی میزان ذرات رس و سیلت با افزایش فاصله از خروجی حوزه آبخیز حالت صعودی و ذره شن حالت نزولی دارد. آبراهه رتبه چهار دارای شدت جریان بالایی است و نصور این است که ذرات درشت‌تری را با خود حمل می‌کند. در طول مسیر با نزدیک شدن به خروجی، میزان ذرات درشت به دلیل وجود بندهای اصلاحی و به تعیین آن انبیا شدن رسوبات در پشت بندها کاهش پیدا می‌کند. میزان رس و سیلت با افزایش فاصله از خروجی روند نزولی و شن نزولی روند صعودی دارد. آبراهه رتبه یک کمترین شدت جریان را دارد. مقدار رس با افزایش فاصله ثابت بوده و سیلت افزایش و شن کاهش پیدا کرده است. بهمنظور بررسی کارایی مدل‌ها از سه ضریب کارایی استفاده شد. نتایج توزیع دانه‌بندی رسوبات نشان داد بندهای در تله‌اندازی رسوبات درشت‌دانه مانند شن با سهم  $۶۹/۵$  درصد بیشترین کارایی را داشته‌اند. همچنین نتایج بررسی ضرایب کارایی مدل‌های توزیع اندازه ذرات نشان داد مدل فرده‌لاند با بیشترین ضریب تعیین با مقدار  $۰/۹۸$  و کمترین شخص  $۰/۰۳$  و آماره آکائیک با مقدار  $۵۹/۵۴$ -۵۹/۵۴ کارآمدترین مدل در اندازه ذرات رسوب نسبت به هفت مدل دیگر است.

**نتیجه‌گیری:** با توجه به اینکه میانگین ذرات شن، سیلت و رس بهترتبیب  $۶۹/۵$  و  $۲۴/۷$  و  $۵/۸$  درصد است نشان دهنده عملکرد بندهای اصلاحی در مهار رسوبات درشت‌دانه مانند شن است. نتایج نشان می‌دهد بندهای بالادست حوضه ذرات درشت‌دانه را مهار کرده‌اند اما این روند در بندهای اصلاحی مشاهده نمی‌شود. به‌نظر می‌رسد در تغییرات اندازه رسوب انبیا شده شد، نوع بند رسوب‌گیر و توالی آن تاثیرگذار است. همچنین به دلیل فاصله کم بندهای از یکدیگر، روابط، ذرات ریز تا درشت را با خود حمل کرده و نمی‌توان تمایز قطری منظمی به دست آورد.

**واژه‌های کلیدی:** اقدامات آبخیزداری، اندازه ذرات رسوب، حوزه آبخیز لشکران

ارزیابی اثرات آبخیزداری دورنمایی از تأثیر این عملیات بر کاهش رسوب به دست می‌دهد (Madanchi *et al.*, 2022). از مهم‌ترین اهداف عملیات آبخیزداری، کاهش فرسایش و هدررفت خاک و در مرحله بعد جلوگیری از خروج ذرات فرسایش یافته از حوزه آبخیز است. معمولاً در سراسر آبخیزها سازه‌هایی جهت کنترل رسوب احداث می‌شود (Abbasi, 2019). یکی از مهم‌ترین اقدامات آبخیزداری برای کنترل فرسایش و هدررفت آب در حوزه‌های آبخیز، بندهای اصلاحی

**مقدمه**  
اقدامات آبخیزداری به مجموعه اقدامات بیولوژیکی و مدیریتی گفته می‌شود که در یک حوزه آبخیز بهمنظور ارتقای وضعیت اقتصادی و اجتماعی ساکنین حوضه و با توجه به بهره‌برداری پایدار و بهینه از منابع آب، خاک و پوشش گیاهی انجام می‌شود (Rasouliazar, 2018). ارزیابی تاثیر اقدامات آبخیزداری بر مؤلفه‌های مختلف آبخیز در بهبود عملکرد اقدامات مذکور دارای اهمیت است (Tajiki *et al.*, 2022).

این پژوهش است امری که با توجه به سابقه پژوهش ارائه شده، تاکنون موردنموده جدی قرار نگرفته است. (Wei, 2016) در بررسی ویژگی های فرکتال توزیع اندازه ذرات رسوب پشت بندهای اصلاحی در چین با استفاده از تجزیه و تحلیل ویژگی های توزیع اندازه ذرات خاک (PSD) به این نتیجه رسیدند که اندازه ذرات رسوب پشت بندهای اصلاحی، به صورت سیلت (۵۰ میکرون) و همچنین ماسه ریز (۲۵ - ۵۰ میکرون) است.

واعظی (Vaezi, 2020) در حوزه آبخیز منطقه نیمه خشک غرب کشور عملکرد بندهای توری سنگی و نقش عوامل در انباشت رسوبات و توزیع اندازه ذرات را مورد بررسی قراردادند. نتایج حاکی از این است که عملکرد بندهای توری سنگی در تله اندازی رسوب در بخش های توری سنگی مختلف است، به طوری که بندهای توری سنگی واقع در بالادست آبراهه نقش مهمی در ترسیب مواد درشت دانه دارند. همچنین بررسی دانه بندی ذرات شن نشان داد بیشترین ذرات تنه تنی شده در پشت بندها مربوط به ذرات باندازه ۱ تا ۲ میلی متر بود. ذرات با قطر ۲ تا ۴/۷۵ میلی متر، بیشترین سهم ذرات درشت رسوب (سنگریزه) را شامل می شوند.

rstemi (Rostami, 2021) به بررسی تأثیر بندهای اصلاحی بر دانه بندی رسوبات در حوزه آبخیز کرمانشاه پرداختند. ایشان نتیجه گرفتند که بندهای توری سنگی در تله اندازی ذرات شن بهتر از بندهای سنگی ملاتی عمل می کنند. این در حالی است که بندهای سنگی ملاتی در ترسیب ذرات سیلت و رس عملکرد بہتری دارند. همچنین این پژوهش نشان داد در انتخاب نوع بند بررسی دانه بندی خاک حوزه آبخیز ضرورت دارد.

بررسی سوابق پژوهش های صورت گرفته و مطالعات انجام شده در تعیین توزیع اندازه رسوبات تولیدی نشان می دهد که در این زمینه پژوهش بسیار کم و بیشتر به سمت صرفاً دانه بندی رسوبات رفته است. در حالی که تعیین توزیع اندازه ذرات رسوب انباسته شده در پشت بندهای رسوب گیر از اقدامات مهم در ارزیابی کارایی آن ها در تله اندازی رسوبات است. همچنین این بررسی ها می توانند ارزیابی غیر مستقیمی از شرایط بهینه جهت احداث بندها از نظر ابعاد و موقعیت را ارائه دهد. با توجه به فرایانش بالا و هزینه های بسیار زیاد سازه ها این ضرورت را بیان می کند که به بررسی دانه بندی رسوبات پشت بندهای اصلاحی بپردازیم.

## مواد و روش ها

### منطقه موردمطالعه

حوزه آبخیز لشکران در شمال غربی شهرستان سلماس در استان آذربایجان غربی واقع شده است. بر اساس تقسیم بندی کشوری در حوزه آبریز دریاچه ارومیه قرار دارد و مختصات جغرافیایی آن در طول جغرافیایی  $۴۴^{\circ}۳۸'$  تا  $۴۴^{\circ}۴۰'$  شرقی و عرض  $۳۸^{\circ}۱۸'$  تا  $۳۸^{\circ}۱۸'$  شمالی است. مساحت این حوضه ۳۶۳ هکتار است. در این حوزه ۱۱ سازه سنگی ملاتی در سال های ۱۳۹۱ و ۱۳۹۷ اجرا شده است که ۸ سازه در سال ۱۳۹۱ و ۳ سازه در سال ۱۳۹۷ در داخل آبراهه های اصلی احداث شدند.

هستند که نقش ویژه و مهمی در کاهش بار رسوبی رودخانه ایفا می کنند (Hassanzadeh, 2020). هدف از احداث بندهای رسوب گیر جلوگیری از ورود ذرات رسوب ناشی از فرسایش اراضی بالادست به رودخانه اصلی است (Abedini, 2012; Asadzadeh, 2018). یکی از روش های سازه های که به طور گسترده در دنیا به کاربرده می شود، احداث بندهای اصلاحی است (Vaezi, 2020). این بندها با به دام انداختن رسوب موجود در جریان های سیلابی، شب طولی آبراهه ها را کاهش داده و فرصت مناسبی برای انجام عملیات بیولوژیکی مهار فرسایش خاک فراهم می آورند (Bombino, 2006; Romero-Díaz, 2012).

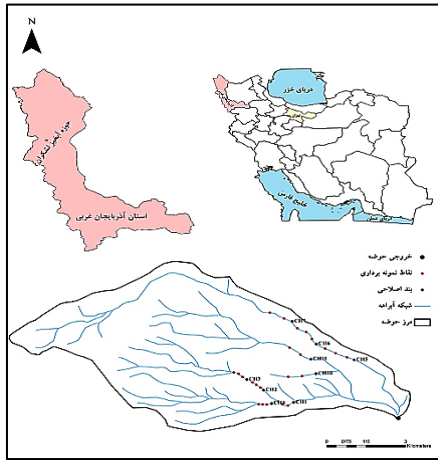
برای دستیابی به نتیجه بهتر در حوزه های آبخیز و به ویژه تله اندازی رسوبات در پشت بندهای اصلاحی، شناخت نوع رسوب و خصوصیات آن کمک شایانی در زمینه مدیریت بهتر حوزه های آبخیز و منابع آب و خاک به ما می کند.

با توجه به نقش بندهای رسوب گیر در به دام انداختن ذرات رسوب، مطالعه رسوبات موجود در پشت این بندها از نظر ویژگی های توزیع اندازه ذرات دارای اهمیت بهسازی ای است زیرا که ذخیره رطوبتی در پشت این بندها تابعی از توزیع اندازه ذرات رسوبات بوده، همچنین، اندازه های مختلف ذرات رسوب دارای ویژگی های شیمیایی متفاوتی بوده و از نظر آلات گردی و تلفات عناصر غذایی بسیار متفاوت عمل می نمایند (Romero-Díaz et al., 2012; Hassanli et al., 2009).

تعیین فراوانی هر طبقه قطری از رسوبات را دانه بندی ذرات رسوبی می نامند (Sadeghi, 2014). توزیع اندازه ذرات<sup>۱</sup> از مهم ترین ویژگی های فیزیکی مواد رسوبی بوده که از آن به عنوان یک عامل مهم در مدیریت رسوب حوزه های آبخیز استفاده می شود (Asadzadeh, 2018; Yang, 2012). بسیاری از ویژگی های کمی و کیفی رسوبات مانند تخلخل، نفوذ پذیری، قابلیت انتقال، واکنش پذیری شیمیایی و فرسایش پذیری تحت تأثیر اندازه ذرات و چگونگی توزیع آن ها است (Boadu, 2000; Flemming, 2007; Indraratna, 2011). در حقیقت با استفاده از توزیع اندازه ذرات می توان به رفتارهای خاک و رسوب پی برد (Fredlund, 2000).

اصولاً بسیاری از ویژگی های رسوب از قبیل نفوذ پذیری، رطوبت قابل استفاده و حاصل خیزی ارتباط مستقیمی با توزیع اندازه ذرات و بافت خاک دارند (Arabkhedri, 2018). با توجه به این که آگاهی از توزیع اندازه ذرات جایه گشده از سطح حوزه های آبخیز و همچنین اطلاع از کارکرد بندهای اصلاحی در تله اندازی رسوبات و طبقه های قطری مربوطه، از گام های موردنیاز در رفتارشناسی حوزه های آبخیز در مدیریت فرسایش و رسوب و اولویت بندی اقدامات حفاظت آب و خاک است بنابراین، مطالعه توزیع اندازه رسوبات انتقالی در حوزه های آبخیز از ضروریات است.

بر همین اساس در راستای تحقق بخشی از اهداف مربوط به ضرورت های ذکر شده، بررسی توزیع اندازه ذرات رسوب در پشت بندهای اصلاحی در حوزه آبخیز لشکران سلماس از اهداف



شکل ۱- موقعیت فارگیری حوزه آبخیز لشکران شهرستان سلماس استان آذربایجان غربی  
Figure 1. The Location of Lashkaran Watershed (Salmاس, West Azerbaijan Province)

شد. سپس نمونه‌ها به آزمایشگاه منتقل و پس از هوا خشک شدن از الک ۲ میلی‌متری عبور داده شد. توزیع اندازه ذرات نمونه‌های رسوب بdrosh هیدرومتری (Gee, 1986) تعیین شد. با توجه به محدودیت هیدرومتر در تعیین توزیع اندازه ذرات با قطر بیش از  $0.05$  میلی‌متر، پس از آخرین قرائت هیدرومتر، نمونه‌های داخل استوانه مدرج به یک الک  $0.05$  میلی‌متری ریخته و شستشو داده شد تا ذرات با قطر بیش از  $0.05$  میلی‌متر جدا شوند. سپس داخل آون خشک شد. توزیع اندازه ذرات بخش باقی‌مانده ( $-0.05$  میلی‌متر) با استفاده از سری الک‌های با قطر  $1, 0.05, 0.025, 0.015$  میلی‌متری به صورت دستی تعیین شد. شاخص‌های توزیع اندازه ذرات محاسبه شد. تغییرات این شاخص‌ها در توالی بندهای مختلف و همچنین آبراهه‌های با ویژگی‌های مختلف بررسی و تأثیر موقعیت بندها، توالی بندها و وضعیت آبراهه (شیب) بر روی این شاخص‌ها بررسی شد.

### روش پژوهش

ابتدا با پایش میدانی، محل و ابعاد سازه‌ها و ارتفاع رسوب انباسته شده در پشت سازه‌ها بررسی و اندازه گرفته شد. برای تعیین توزیع اندازه ذرات رسوبات، از رسوبات پشت هر بند اصلاحی در محلی نزدیک به دیواره عمودی بند اصلاحی، نمونه‌برداری از دو عمق  $0$  تا  $25$  و  $50$  سانتی‌متری (جدول ۱) با فواصل  $20$  متری و در امتداد محل نمونه‌برداری اول انجام و دو نمونه دیگر از عمق  $0$  تا  $25$  سانتی‌متری برداشت شد (Bai, 2020; Najafi, 2013). در نمونه‌برداری از رسوبات پشت‌بندها بهمنظور جلوگیری از اختلالات خاک‌های مجاور دیواره آبراهه با نمونه‌های رسوب سعی شد از مناطق نزدیک به دیواره آبراهه نمونه‌برداری انجام و نشود (Asadzadeh, 2018; Romero-Díaz, 2012). تعداد کل بندها  $11$  عدد است ولی از هشت بند نمونه‌برداری انجام و مجموعاً  $32$  نمونه رسوب با وزن تقریبی هر نمونه  $1/5$  تا  $2$  کیلوگرم برداشت شد. از سه بند باقی‌مانده به‌دلیل پر شدن پشت سازه از نمونه‌برداری صرف نظر

جدول ۱- مشخصات نقاط نمونه‌برداری و بندهای اصلاحی حوزه آبخیز لشکران

Table 1. Specifications of sampling points and dams in Lashkaran Watershed

شماره نمونه Sample No.	شماره سازه Structure No.	سال احداث سازه year of structure built	فاصله از خروجی حوضه (کلومتر) Distance from outlet (Km)	فاصله از بند اصلاحی (متر) Distance from Checkdam (Km)	عمق نمونه‌برداری Sampling depth
4	CH1	1391	20	1.153	0-25
			40	1.173	25-50
			60	1.193	0-25
3	CH2	1397	20	1.323	25-50
			40	1.343	0-25
			60	1.363	25-50
3	CH3	1397	20	1.503	0-25
			40	1.523	25-50
			60	1.543	0-25
3	CH4	1397	20	1.323	0-25
			40	1.343	25-50
			60	1.363	0-25
3	CH5	1391	20	0.863	25-50
			40	0.883	0-25
			60	0.903	25-50
3	CH6	1391	20	0.999	0-25
			40	1.019	25-50
			60	1.039	0-25
3	CH7	1391	20	1.137	0-25
			40	1.157	25-50
			60	1.177	0-25
1	CH10	1391	20	0.957	0-25
			40	0.977	25-50
3	CH11	1391	20	1.006	0-25
			40	1.026	25-50

### توزیع اندازه ذرات رسوب

نتایج دانه‌بندی نمونه‌های رسوب در سه طبقه شامل رس، سیلت و شن، بررسی و در (جدول ۲) ارائه شده است.

### نتایج و بحث

بررسی نتایج به دست آمده از مثلث بافت خاک نشان داد بافت شنی‌لومی و پس از آن بافت لومی‌شنی بافت غالباً می‌باشد. در بین نمونه‌ها بافت شنی، سیلتی و لومی‌سیلتی نیز وجود دارد ولی فراوانی آن‌ها در میان نمونه‌ها کمتر است.

جدول ۲- خصوصیات فیزیکی نمونه‌های رسوب برداشت شده از حوضه لشکران

Table 2. Physical characteristics of sediment samples collected from the Lashkaran Watershed

Sediment texture	درصد			عمق نمونه‌برداری Sampling depth	ردیف Row	شماره No.
	پلاست رسوب	رس Clay	سیلت Silt			
شی‌لومی loamy sand	5.1	17.7	77.2	0-25		5
شن Sand	2.5	10.1	87.4	25-50		6
شی‌لومی loamy sand	2.5	13	84.5	0-25	3	7
شی‌لومی loamy sand	5.1	13.2	81.7	25-50		8
لومی‌سیلتی silty loam	2.5	58.5	39	0-25		9
لومی‌شنی sandy loam	7.6	16.5	75.9	25-50	3	10
شی‌لومی loamy sand	5.1	17.5	77.4	0-25		11
لومی‌سیلتی Silty loam	15.2	78.2	6.6	0-25		12
سیلتی Silt	5.1	82.3	12.6	25-50		13
لومی‌شنی Sandy loam	2.5	47.4	50.1	0-25	3	14
لومی‌شنی sandy loam	10.1	30.2	59.7	25-50		15
لومی‌سیلتی Silty loam	5.1	53.2	41.7	25-50	3	17
لومی‌شنی Sandy loam	2.5	44.6	52.8	0-25		20
لومی Loam	7.6	49.4	43	25-50		21
شی‌لومی loamy sand	7.6	5.4	87	0-25	3	22
شی‌لومی loamy sand	5.1	9.9	85	25-50		23
شی‌لومی loamy sand	5.1	7.9	87	0-25		24
شی‌لومی Sand	5.1	5.1	89.8	25-50	3	25
شی‌لومی loamy sand	7.6	9.4	83	0-25		26
لومی‌شنی silty loam	10.1	17.8	72.1	0-25		30
لومی‌شنی Sandy loam	7.6	15.3	77.2	25-50	3	31
لومی‌شنی Sandy loam	7.6	18.5	73.9	0-25		32
شن Sand	6.1	28.2	65.7	میانگین ذرات رسوب آبراهه رتبه ۳		
لومی‌شنی Sandy loam	5.1	22.3	72.6	0-25		1
شی‌لومی loamy sand	2.5	20.3	77.2	25-50	4	24
شی‌لومی loamy sand	2.5	12	85.5	0-25	CH1	3
شن Sand	2.5	11.2	86.3	25-50		4
شی‌لومی loamy sand	7.6	9.7	82.7	0-25		27
شی‌لومی loamy sand	7.6	8.9	83.5	25-50	1	28
شی‌لومی loamy sand	7.6	10.7	81.7	0-25		29
شی‌لومی loamy sand	7.6	9.8	82.7	میانگین ذرات رسوب آبراهه رتبه ۱		

با توجه به اینکه میانگین ذرات شن، سیلت و رس به ترتیب ۵/۶۹/۵ و ۵/۸ و ۴/۷ درصد است نشان دهنده عملکرد بندهای اصلاحی در مهار رسوبات درشت‌دانه مانند شن است و این سازه‌ها در نگهداری ذرات ریزتر کارایی کمتری داشتند. کاظم‌زاده و همکاران (Kazemzadeh *et al.*, 2022) و رستمی و همکاران (Rostami *et al.*, 2021) و بایز شریف و همکاران (Baiz Sharif *et al.*, 2023) نیز در پژوهش خود به نتایج مشابه رسیدند. همچنین ذرات ریز به صورت بار معلق از بندها

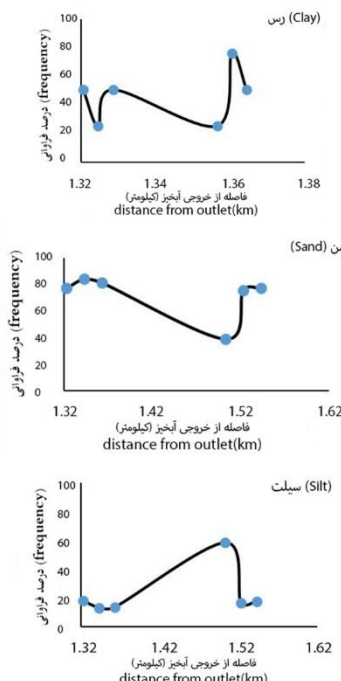
نتایج حاصل از بررسی (جدول ۲) نشان می‌دهد که در آبراهه‌های رتبه ۳ توزیع اندازه ذرات از الگوی خاص و منظمی پیروی نمی‌کند و میانگین شن، سیلت، رس به ترتیب ۷/۵۶/۲ و ۲/۶ درصد است. در آبراهه رتبه ۴ که بند CH1 در آن قرار دارد میانگین شن ۴/۸۰ درصد و بقیه ذرات به ترتیب ۵/۱۶ و ۲/۳ درصد است. این میزان در آبراهه رتبه ۱ که بند CH10 در آن ۷/۶ درصد است. این میزان در آبراهه رتبه ۱/۲ به ترتیب ۷/۶ و رس ۸/۸۲ درصد است. ولی به طور کلی میانگین درصد ذرات شن و پس از آن سیلت بیشترین میزان حجم ذرات تشکیل دهنده رسوبات است.

سه، یک بند در آبراهه رتبه چهار و یک بند در آبراهه رتبه یک احداث شده‌اند.

**تحلیل توزیع اندازه رسوبر ابراهه رتبه سه**  
همان‌طور که در (شکل ۲) نشان داده شده است میزان تغییرات ذرات رسوبر روند منظمی ندارد ولی به طور کلی میزان رس و سیلت با افزایش فاصله از خروجی حوزه آبخیز حالت صعودی و ذره‌شن حالت نزولی دارد.

خارج می‌شوند که با نتایج پژوهش اسدزاده و صمدی (Asadzadeh & Samadi, 2016) همسو است.

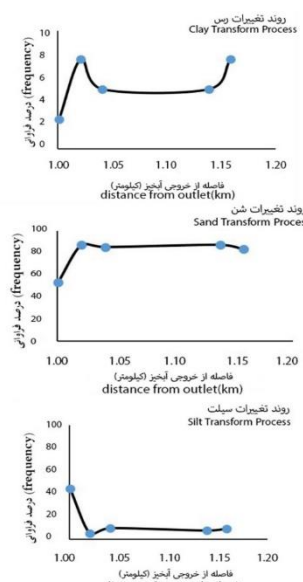
**تحلیل توزیع اندازه رسوبر بر اساس رتبه آبراهه**  
با توجه به اهمیت توزیع اندازه رسوبر و عوامل مختلف تأثیرگذار بر آن به بررسی رابطه فاصله نقاط نمونه‌برداری رسوبر با خروجی حوزه آبخیز بر اساس رتبه آبراهه پرداخته شد. در حوضه موردمطالعه بندهای اصلاحی بر روی آبراهه با سه رتبه شامل یک، سه و چهار می‌باشند. هفت بند بر روی آبراهه رتبه



شکل ۲- نمودار توزیع اندازه رسوبر در بندهای اصلاحی CH2, CH3, CH5, CH6, CH7  
Figure 2. Sediment size distribution diagram in CH2, CH3 dams

روندهای اصلاحی به شکل با افزایش فاصله از خروجی رس و شن حالت صعودی و سیلت روند نزولی دارد.

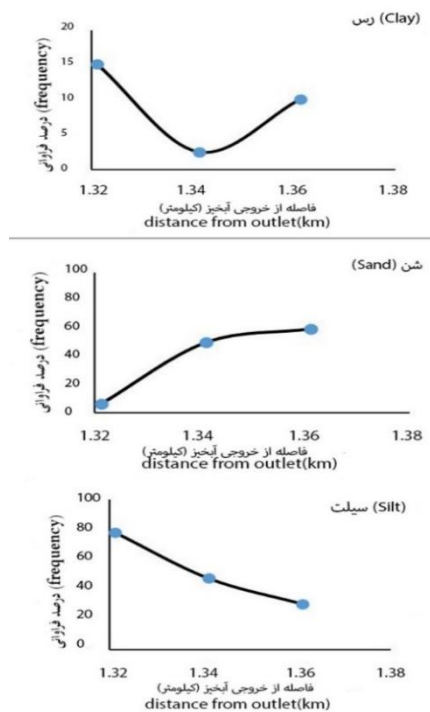
روندهای اصلاحی در (شکل ۳) نشان داده شده است. با توجه



شکل ۳- نمودار توزیع اندازه رسوبر در بندهای اصلاحی CH5, CH6, CH7  
Figure 3. Sediment size distribution diagram in CH5, CH6, CH7 dams

نکرده به طور کلی رس و سیلت روند نزولی و شن حالت صعودی دارد.

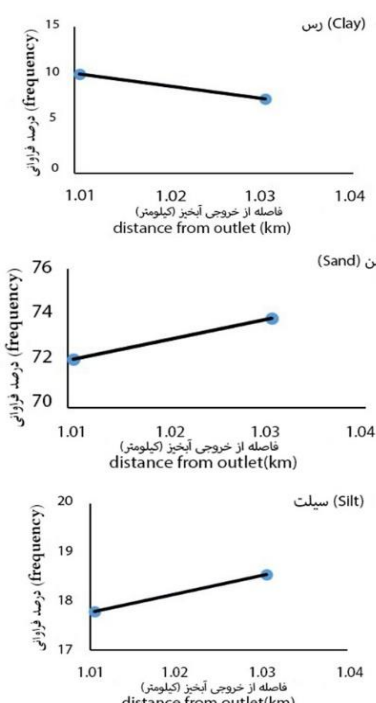
در مورد بند CH4 همان‌طور که در (شکل ۴) نشان داده شده است تغییرات میزان ذرات رسوب از روند منظمی پیروی



شکل ۴- نمودار توزیع اندازه رسوب در بند اصلاحی CH4  
Figure 4. Sediment size distribution diagram in CH4

است که ذرات رس با افزایش فاصله از خروجی روند نزولی، سیلت و شن نیز حالت صعودی دارد.

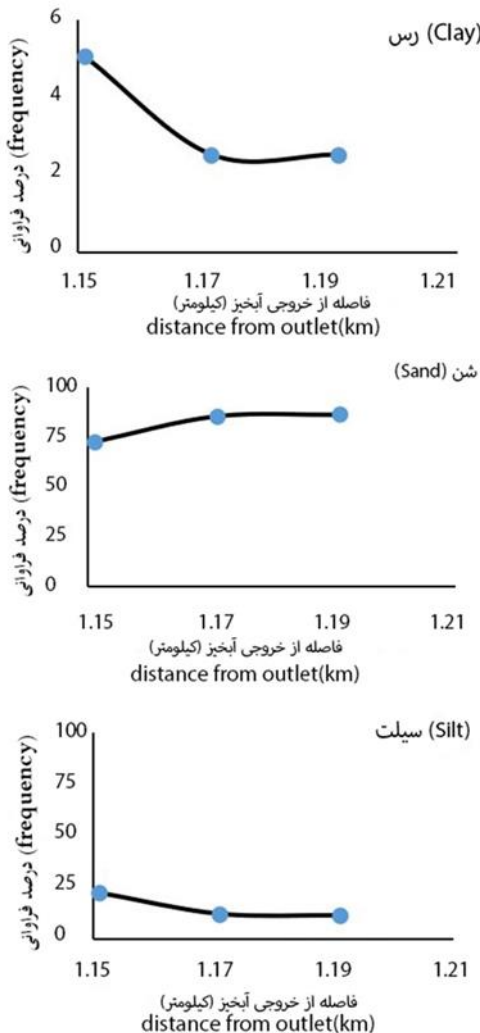
با توجه به تعداد کم نمونه برداشت شده از بند CH11 نمی‌توان تحلیل دقیقی از روند تغییرات ارائه کرد و با اکتفا به داده‌های موجود در (شکل ۵) تغییر میزان رسوبات ارائه شده



شکل ۵- نمودار توزیع اندازه رسوب در بند اصلاحی CH11  
Figure 5. Sediment size distribution diagram in CH11

پشت‌بندها کاهش پیدا می‌کند. بند CH1 بر روی آبراهه رتبه چهار قرار گرفته است و انتظار می‌رود با افزایش فاصله از خروجی میزان شن افزایش و رس نیز کاهش پیدا کند. همان‌گونه که در (شکل ۶) نشان داده شده است میزان رس و سیلت با افزایش فاصله از خروجی روند نزولی و شن نیز روند صعودی دارد.

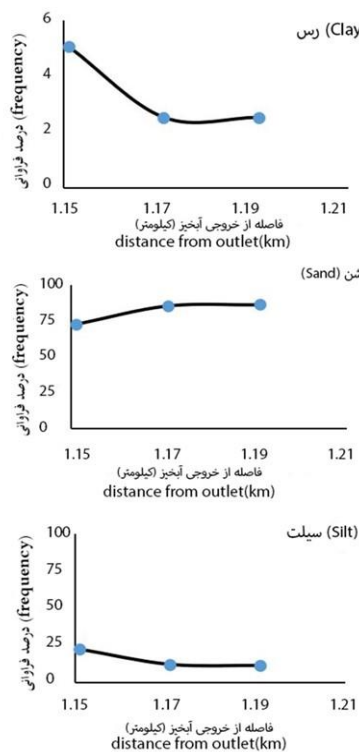
**تحلیل توزیع اندازه رسوب آبراهه رتبه چهار**  
آبراهه رتبه چهار دارای شدت جریان بالایی است و تصور این است که ذرات درشت‌تری را با خود حمل می‌کند. در طول مسیر با نزدیک شدن به خروجی، میزان ذرات درشت بهدلیل وجود بندهای اصلاحی و به طبع آن اینباشه شدن رسوبات در



شکل ۶- نمودار توزیع اندازه رسوب در بند اصلاحی CH1  
Figure 6. Sediment size distribution diagram in CH1

تفیرات ذرات رسوب‌بند CH10 نشان داده شده است. همان‌طور که مشاهده می‌شود مقدار رس با افزایش فاصله ثابت بوده و سیلت افزایش و شن کاهش پیدا کرده است.

**تحلیل توزیع اندازه رسوب آبراهه رتبه یک**  
آبراهه رتبه یک کمترین شدت جریان را دارد و جزء اولین انشعابات آبراهه حوزه آبخیز هستند. در حوضه موردمطالعه فقط یک بند بر روی آبراهه رتبه یک قرار دارد. در (شکل ۷) روند



شکل ۷- نمودار توزیع اندازه رسوب در بند اصلاحی CH10  
Figure 7. Sediment size distribution diagram in CH10

رونده افزایشی داشته و مقدار آن قابل توجه نیست. میزان شن، سیلت و رس در بند CH1 که در آبراهه رتبه چهار قرار دارد، بهترین ۱۶ و ۴ درصد است. این نتیجه نشان می‌دهد بندهای بالا دست حوضه ذرات درشت‌تر را مهار کردند. اما این روند در بندهای اصلاحی دیگر مشاهده نمی‌شود. به‌نظر می‌رسد در تغییرات اندازه رسوب انباسته شده، نوع بند رسوب‌گیر و توالی آن تأثیرگذار است. در بندهای احداث شده که از رسوبات پر شده‌اند، کارابی کافی برای کاهش سرعت جریان‌های سیلانی را ندارند، به‌طوری که ذرات رسوب از بندها خارج شده و رسوبات حتی در بندهای پایین‌دست نیز بافت شنی دارد. بنابراین، به‌دلیل اینکه مخزن این بندها با رسوبات درشت‌دانه پر شده است، هدف اصلی احداث این بندها که نگهداری رسوبات رسوب ریز‌دانه است به‌طور کامل تحقق نیافته است.

با توجه به نتایجی که از این پژوهش به‌دست آمده مواردی جهت انجام پژوهش‌های دیگر پیشنهاد می‌شود. از جمله اینکه افزایش فواصل و تعداد نمونه‌برداری جهت نتیجه‌گیری دقیق‌تر و نتیجه بهتر توصیه می‌شود. همچین بندهایی که توالی مشخصی از یکدیگر دارند و در یک آبراهه و مسیر قرار دارند بررسی شوند تا مقایسه بهتری صورت پذیرد. با توجه به اینکه خصوصیات خاک و رسوب در فواصل بیشتری تغییر پیدا می‌کند و در مقیاس کوچک‌تر نمی‌توان نتیجه دقیق‌تری گرفت در نتیجه پیشنهاد می‌شود فاصله بهینه‌ای از بندها از هم‌دیگر و خروجی حوزه آبخیز انتخاب شود.

به‌دلیل فاصله کم بندها از یکدیگر و شایستگی جریان، رواناب، ذرات رسوب را با خود حمل کرده و نمی‌توان تمایز قطری منظمی به‌دست آورد. این نتیجه با پژوهش رستمی و همکاران (Rostami et al., 2021) طبق داشت. Alfonso-Torreño et al. (2019) نیز در بررسی بندهای اصلاحی جنوب غرب اسپانيا نشان دادند که موقعیت توپوگرافی بندها و قرارگیری آن‌ها در رتبه‌های متفاوت آبراهه در تجمع رسوب نقش دارد.

### نتیجه‌گیری کلی

توزیع اندازه ذرات رسوب از مهم‌ترین ویژگی‌های رسوبات به حساب می‌آید و بسیاری از ویژگی‌های فیزیکی و شیمیایی رسوبات تحت تأثیر چگونگی توزیع اندازه ذرات رسوب است. عوامل مختلفی از جمله اندازه ذرات رسوب بر عملکرد بندهای اصلاحی تأثیرگذار است. با توجه به اینکه سازه‌های اصلاحی به‌طور گسترده در برخی از کشورها از جمله ایران برای کاهش تولید رسوب به کار می‌روند، پژوهش حاضر با هدف توزیع اندازه رسوب انباسته در پشت‌بندهای اصلاحی انجام شده است تا قبل از احداث سازه‌ها، خاک و رسوب منطقه به‌طور دقیق بررسی و سپس تصمیمات مدیریتی جهت کنترل رسوب اتخاذ شود.

در توالی بندهای اصلاحی CH5، CH6، CH7 و CH8 میزان شن ۷۹٪، سیلت ۱۵/۵ و رس ۵/۵ درصد و با افزایش فاصله از خروجی آبخیز میزان شن روند افزایشی و سیلت کاهشی بوده گرچه رسوب

**References**

- Abbasi, N. A., Xu, X., Lucas-Borja, M. E., Dang, W., & Liu, B. (2019). The use of check dams in watershed management projects: Examples from around the world. *Science of the total environment*, 676, 683-691.
- Abedini, M., Said, M. A. M., & Ahmad, F. (2012) Effectiveness of check dam to control soil erosion in a tropical catchment (The Ulu Kinta Basin). *Catena*, 97, 63-7.
- Alfonso-Torreño, A., Gómez-Gutiérrez, Á., Schnabel, S., Contador, J.F.L., de Sanjosé Blasco, J.J., & Fernández, M.S. 2019. sUAS, SfM-MVS photogrammetry and a topographic algorithm method to quantify the volume of sediments retained in checkdams. *Science of the Total Environment*, 678, 369-382.
- Arabkhedri, M., Feiznia, S., & Kamali, K. (2018). Attitude on River Suspended Sediment Grain-size in Arid and Semi-arid Regions of Iran and Its Impact on Floodwater Harvesting Systems. *Iranian Journal of watershed management science*, 12(41), 73-84.
- Asadzadeh, F. (2018). Evaluation of Prediction Error in Some Particle Size Distribution Models for River Sediments. *Iranian Journal of Soil Research*, 31(4), 587-599.
- Asadzadeh, F., & Samadi, A. (2016). Analysis of Physicochemical Properties of Sediments Trapped in Successive Check Dams. *Iranian journal of soil and water research*, 47(2), 293-306.
- Bai, L., Wang, N., Jiao, J., Chen, Y., Tang, B., Wang, H., ... & Wang, Z. (2020). Soil erosion and sediment interception by check dams in a watershed for an extreme rainstorm on the Loess Plateau, China. *International Journal of Sediment Research*, 35(4), 408-416.
- Baiz Sharif, H., Khaleghpanah, N., Davari, M., & Rahimzadeh, M. (2023). Investigating the performance of check dams in granularity of sedimentation in a watershed affected by debris flow (Nanor, Baneh). *Journal of Water and Soil Conservation*, 30 (1), 111-130.
- Boadu, F. K. (2000). Hydraulic conductivity of soils from grain-size distribution: new models. *Journal of Geotechnical and Geoenvironmental Engineering*, 126(8), 739-746.
- Bombino, G., Tamburino, V., & Zimbone, S. M. (2006). Assessment of the effects of checkdams on riparian vegetation in the Mediterranean environment: A methodological approach and example application. *Ecological engineering*, 27(2), 134-144.
- Flemming, B. W. (2007). The influence of grain-size analysis methods and sediment mixing on curve shapes and textural parameters: implications for sediment trend analysis. *Sedimentary Geology*, 202(3), 425-435.
- Fredlund, M. D., Fredlund, D. G., & Wilson, G. W. (2000). An equation to represent grain size distribution. *Canadian Geotechnical Journal*, 37(4), 817-827.
- Gee, G. W., & Bauder, J. W. (1986). Particle-size analysis In :A. Klute. (ed.) Methods of soil analysis, Part 1. Physical and Mineralogical Methods. *ASA Monograph*, 9, 337-382.
- Hassanzadeh, A., Seyedian, M., Rouhani, H., & Farasati, M. (2020). Evaluation of Fractal Properties of Different Layers Sedimentation Behind the Check Dam. *Iranian Journal of Watershed Management Science and Engineering*, 14(49), 59-69.
- Indraratna, B., Nguyen, V. T., & Rujikiatkamjorn, C. (2012). Hydraulic conductivity of saturated granular soils determined using a constriction-based technique. *Canadian Geotechnical Journal*, 49(5), 607-613.
- Kazemzadeh, M., Jahantigh, M., Noori, Z., Bayat, A., & Elyasi, A.S. (2022). Evaluation of watershed management measures effects on particle size distribution and phosphorus and organic carbon amounts in sediments (Case study: Taleghan paired watersheds). *Journal of Water and Soil Conservation*, 28(3), 93-113.
- Madanchi, P., Shahedi, K., & Saidian, H. (2022). Investigation of the Effect of Watershed Management Operations on Erosion Change and Sedimentation Class, using MPSIAC Experimental Model in Semi-Arid Regions. *Journal of Watershed Management Research*. 13(25), 40-49 (In Persian).
- Najafi, S., & Sadeghi, S. H. R. (2013). Estimation of sediment sources through comparing results from soil erosion mapping, fingerprinting and field measurement techniques. *Watershed Engineering and Management*, 5(3), 165-178 .
- Rasouliazar, S., & Nahavand, S. F. (2018). Socio-economic and Environmental Impacts of the Watershed Management Projects in Mahabad's Dam Catchment. *Management Economic Engineering in Agriculture and Rural Development*, 18(3), 353-358.
- Romero-Díaz, A., Marín-Sanleandro, P., & Ortiz-Silla, R. (2012). Loss of soil fertility estimated from sediment trapped in check dams. South-eastern Spain. *Catena*, 99, 42-53.
- Rostami, K., Vaezi, A., & Sadeghi, S. H. (2021). The Effect of Gabion and Masonry Check Dams on Aggregation of Deposited Sediments in Razin Watershed, Kermanshah, Iran. *Iranian Journal of Watershed Management Science and Engineering*, 15(55), 22-35.
- Sadeghi, S. H. R., Gharemahmudli, S., & Khaledi Darvishan, A. (2014). Variability of Amount and Particle Size Distribution and Morphometric Characteristics of Bed Loads Due to Sand and Gravel Mining. *Water and Soil*, 28(1), 203-218 .

- Sierra, C., Menéndez-Aguado, J. M., Afif, E., Carrero, M., & Gallego, J. R. (2011). Feasibility study on the use of soil washing to remediate the As–Hg contamination at an ancient mining and metallurgy area. *Journal of hazardous materials*, 196, 93-100.
- Tajiki, M., Najafinejad, A., Gholipour, M., Siroosi, H., Sadodin, A., Sheikh, V.B., Zare Garizi, A., & Holisaz, A. (2022). Efficiency of Watershed Management Measures on Erosion and Sedimentation of Qarnaveh watershed, Golestan Province. *Journal of Watershed Management Research*. 13(26), 163-177 (In Persian).
- Vaezi, A., Rostami, K., & Sadeghi, S. H. R. (2020). Investigation on the effectiveness of gabion check dams in amount and grain size of sedimentation in the Rezin watershed, west of Iran. *Journal of Water and Soil Conservation*, 27(5), 201-216.
- Wei, X., Li, X., & Wei, N. (2016). Fractal features of soil particle size distribution in layered sediments behind two check dams: Implications for the Loess Plateau, China. *China Geomorphology*, 266, 133-145.
- Yang, X., Lee, J., Barker, D. E., Wang, X., & Zhang, Y. (2012). Comparison of six particle size distribution models on the goodness-of-fit to particulate matter sampled from animal buildings. *Journal of the Air & Waste Management Association*, 62(6), 725-735.